



UNIVERSIDAD SIMÓN BOLÍVAR
DEPARTAMENTO DE ELECTRÓNICA Y CIRCUITOS
FUNDAMENTOS DE MECATRÓNICA EC-5811
PROFESOR: GERARDO FERNÁNDEZ

LABORATORIO N° 0

Estudiantes:

Giancarlo Torlone 20-10626

Héctor Flores 18-00173

Bloques preprogramados

Se montó el sistema de la **Figura 1** y se modificaron los parámetros.

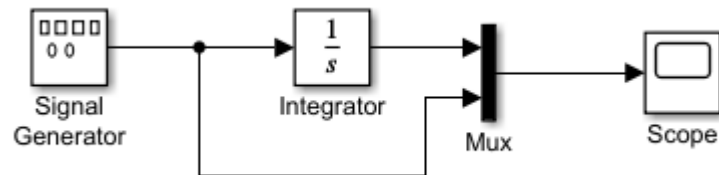


Figura 1. Sistema con integrador

La señal generada es sinusoidal con 10 V a una frecuencia de 60 Hz.

El stop time usado en la simulación fue de: 0.05s

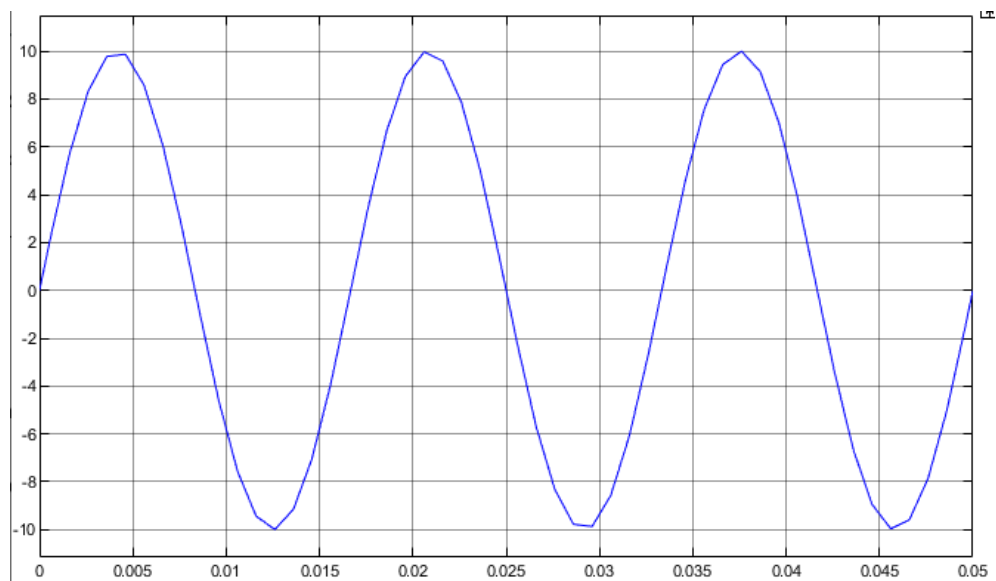


Figura 2. Señal sinusoidal de entrada al sistema

El sistema integra la señal de entrada que es un seno, y se obtiene un coseno.

Señal a la salida del integrador:

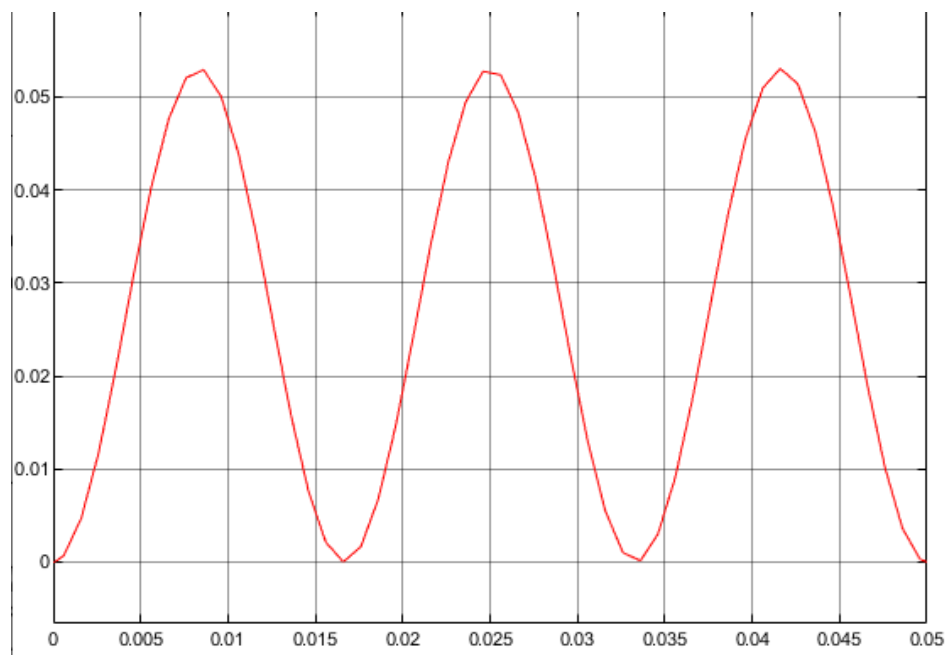


Figura 3. Señal a la salida del integrador

El integrador tiene una condición inicial igual a 0, y es lo que se muestra en la **Figura 3**.

Si variamos este parámetro, la señal se desplazará verticalmente al valor indicado, es decir, la señal tendrá un offset.

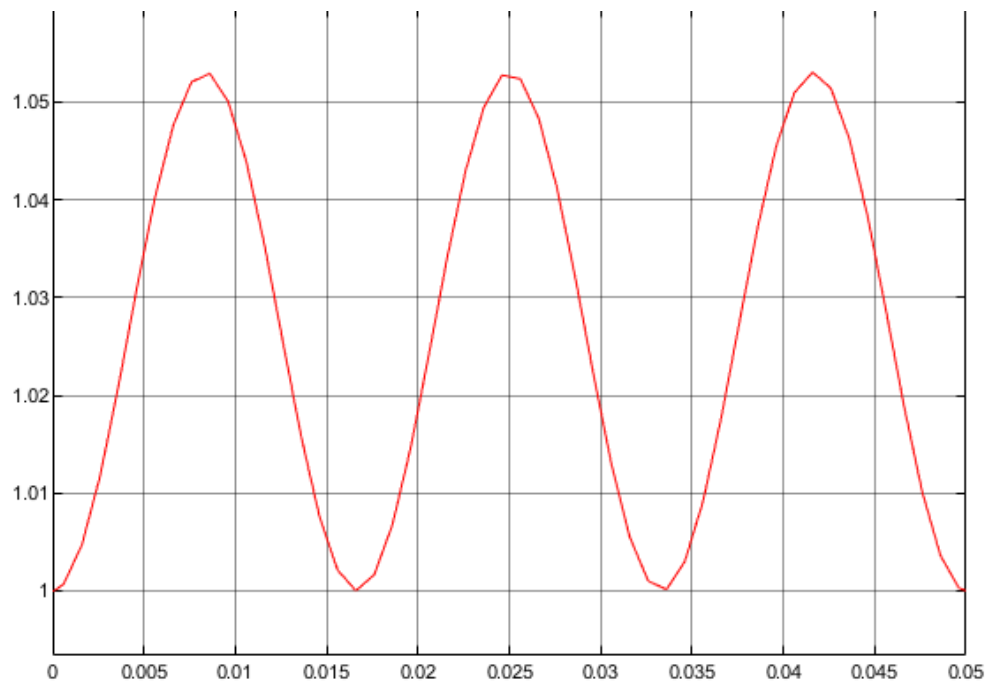


Figura 4. Señal a la salida del integrador con condición inicial igual a 1

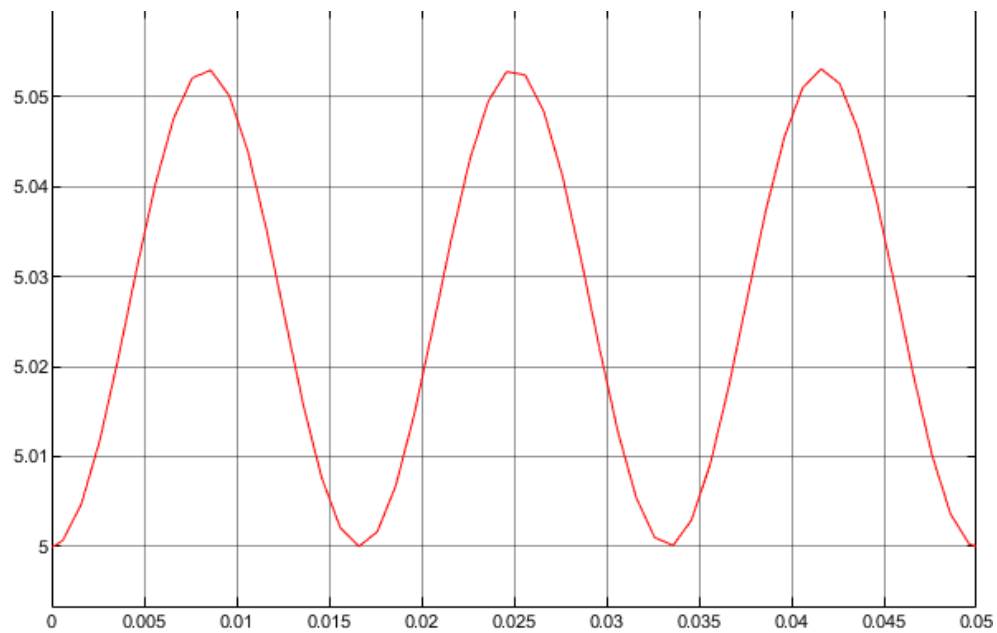


Figura 5. Señal a la salida del integrador con condición inicial igual a 5

Señal a la salida del MUX:

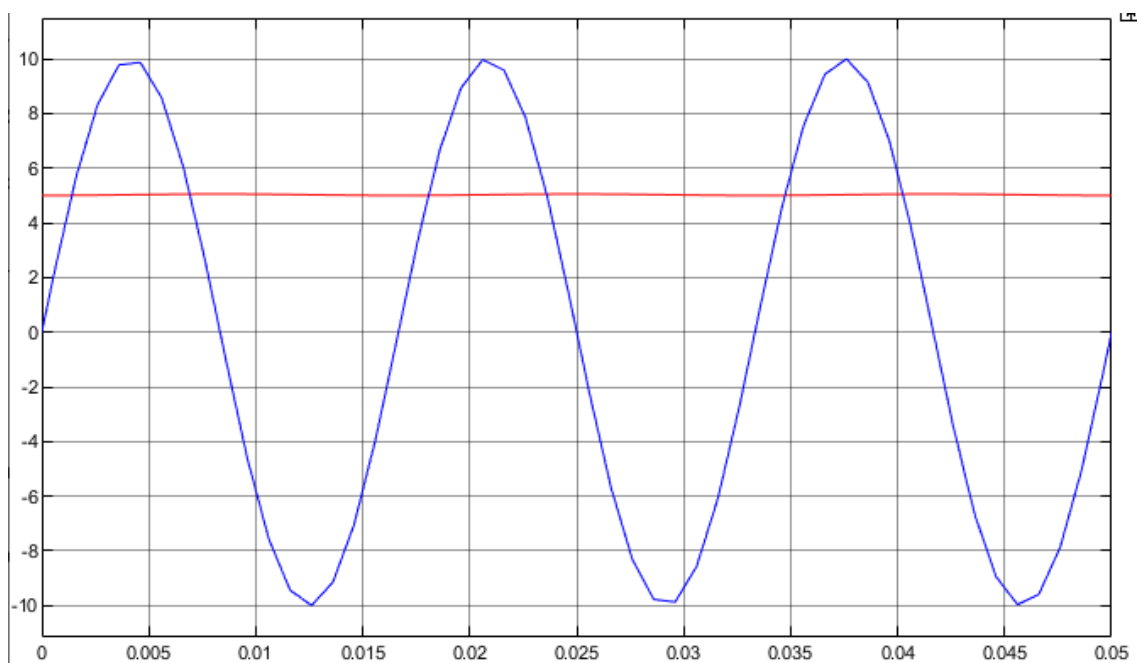


Figura 6. Señal a la salida del MUX con condición inicial igual a 5 del integrador

La señal azul corresponde al seno de entrada de la **Figura 2** y la señal roja al coseno de la **Figura 5**, el cual se visualiza de esa forma ya que, como tiene una amplitud pequeña, la escala actual del scope hace que no se pueda apreciar como en la **Figura 5**, pero se trata de la misma señal.

Posteriormente se planteó un sistema sencillo y fue montado en simulink.

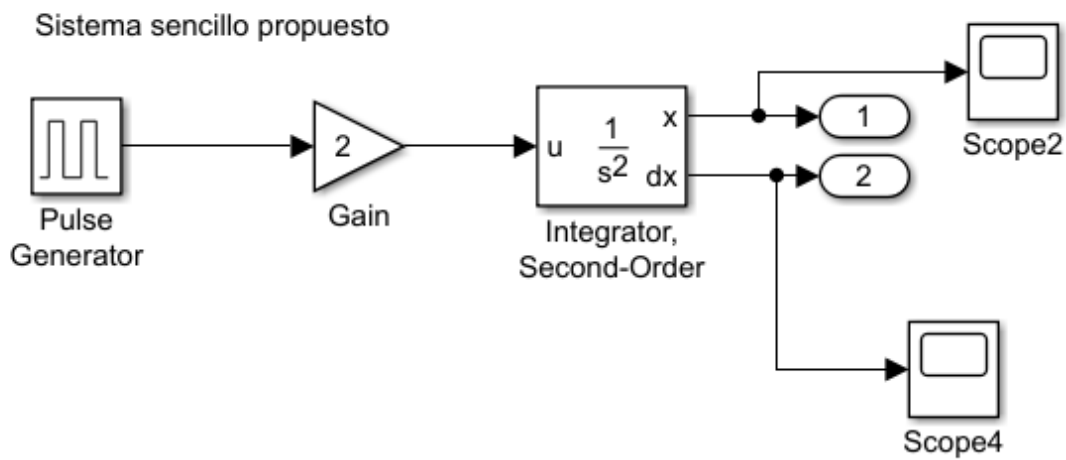


Figura 7. Sistema sencillo propuesto

Al simular este modelo, se integra un impulso breve dos veces para obtener una rampa. El pulso tiene una amplitud de 1 y un periodo de 10s. Dicha amplitud es aumentada con el bloque de ganancia igual a 2. El stop time usado fue de 10s.

Señal a la salida:

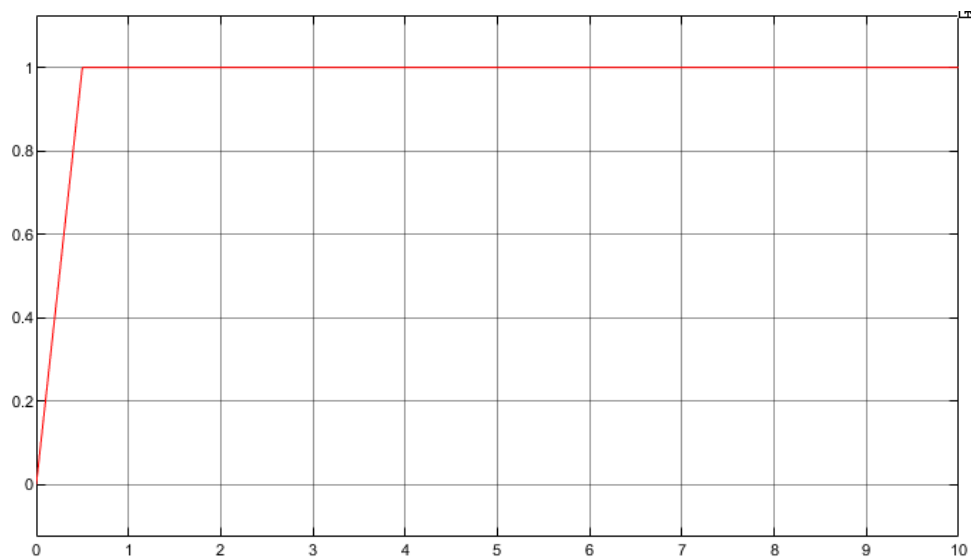


Figura 8. Señal observada por scope 4

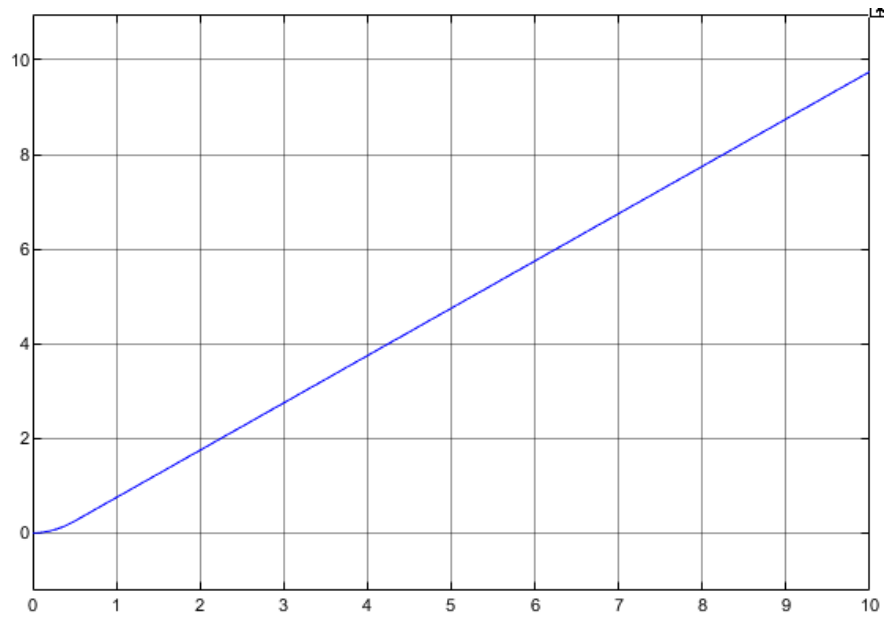


Figura 9. Señal observada por scope 2

Envío de variables al espacio de trabajo de MATLAB.

Se montó en simulink el sistema para la ecuación de Van der Pol:

$$\ddot{x} + (x^2 - 1)\dot{x} + x = 0$$

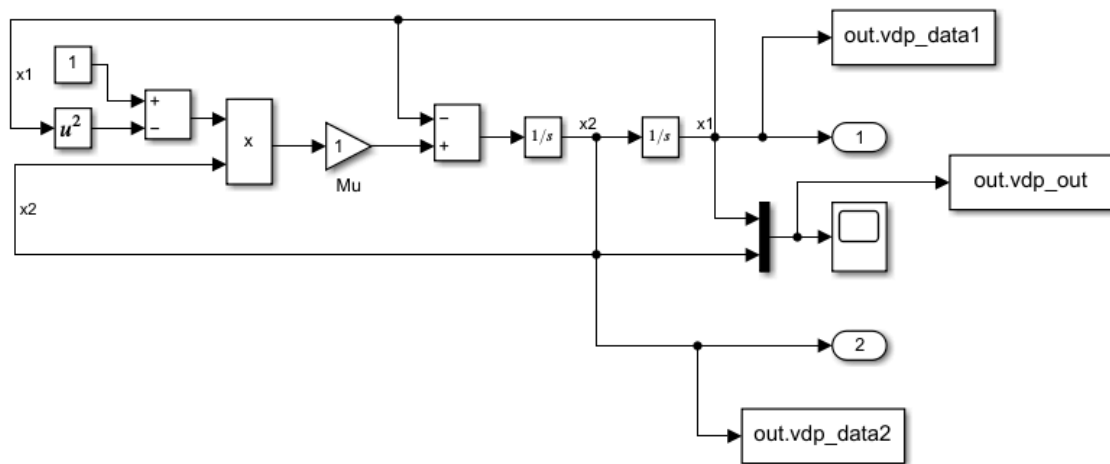


Figura 10. Sistema para la ecuación de Van der Pol

Se obtiene a la salida las siguientes señales:

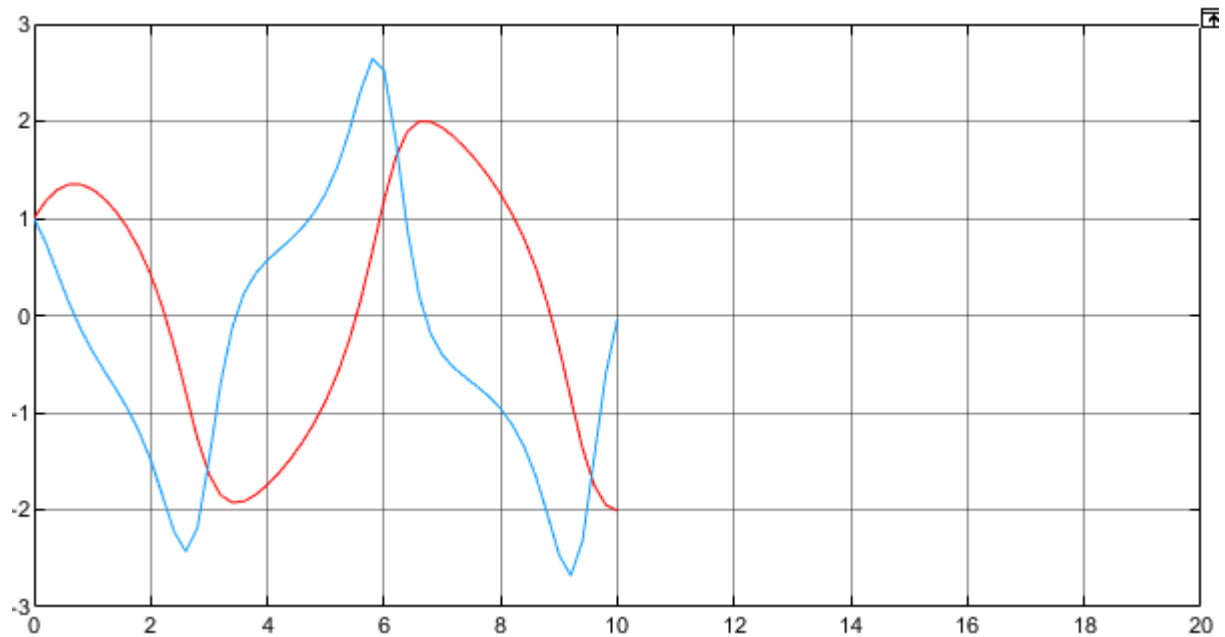


Figura 11. Señales a la salida del sistema de la ecuación de Van der Pol

Se utilizó el bloque “To Workspace” para comunicar los datos obtenidos de Simulink con Matlab.

Los datos enviados a Matlab fueron: el tiempo, los datos en el bloque **out1** llamados **vdp_data1**, los datos en el bloque **out2** llamados **vdp_data2** y los datos de la salida del sistema llamados **vdp_out** (el scope con el MUX).

Los integradores tienen valores iniciales iguales a 1.

A continuación se realiza la simulación para distintos valores del paso mínimo o “step”, es decir, variando μ (Mu).

- Datos obtenidos de simulink con $\mu = 0.2$

tiempo	data1	data2
0	1	1
0,2	1,178265078	0,774688025
0,4	1,307321031	0,511158816
0,6	1,381514882	0,22934624
0,8	1,399041397	-0,05292111
1	1,361172684	-0,32299029
1,2	1,271134796	-0,573858989
1,4	1,133100826	-0,802714161
1,6	0,951577313	-1,00862943
1,8	0,731265809	-1,1902076
2	0,477367936	-1,343544664
2,2	0,196244959	-1,460773666
2,4	-0,103726629	-1,529672089
2,6	-0,411393603	-1,535145202
2,8	-0,712611828	-1,463265891
3	-0,991065095	-1,307298097
3,2	-1,230276336	-1,072978128
3,4	-1,416279882	-0,779294402
3,6	-1,53984031	-0,453287085
3,8	-1,597239742	-0,121705187
4	-1,589492701	0,195642194
4,2	-1,520659167	0,48810215
4,4	-1,396127746	0,75256291
4,6	-1,221429591	0,990112964
4,8	-1,001747897	1,202609631
5	-0,742064329	1,389776494
5,2	-0,44782754	1,546883102
5,4	-0,126018436	1,663164047
5,6	0,213599758	1,721742878
5,8	0,557480419	1,702447014
6	0,888239002	1,588478193
6,2	1,186218462	1,375360341
6,4	1,432662143	1,077002934
6,6	1,613326393	0,723447185
6,8	1,72076581	0,350544539
7	1,754283317	-0,011703808
7,2	1,718012571	-0,345433923
7,4	1,618434407	-0,6445501
7,6	1,462402281	-0,910614099
7,8	1,256089255	-1,148136326
8	1,004802682	-1,3607027
8,2	0,713478601	-1,548001665
8,4	0,387706553	-1,703465667
8,6	0,035154087	-1,812745363
8,8	-0,332881082	-1,854257514
9	-0,700404093	-1,803819426
9,2	-1,047091173	-1,644246429
9,4	-1,350837247	-1,376513904
9,6	-1,592047255	-1,024607032
9,8	-1,757726419	-0,628412179
10	-1,84320322	-0,228652316

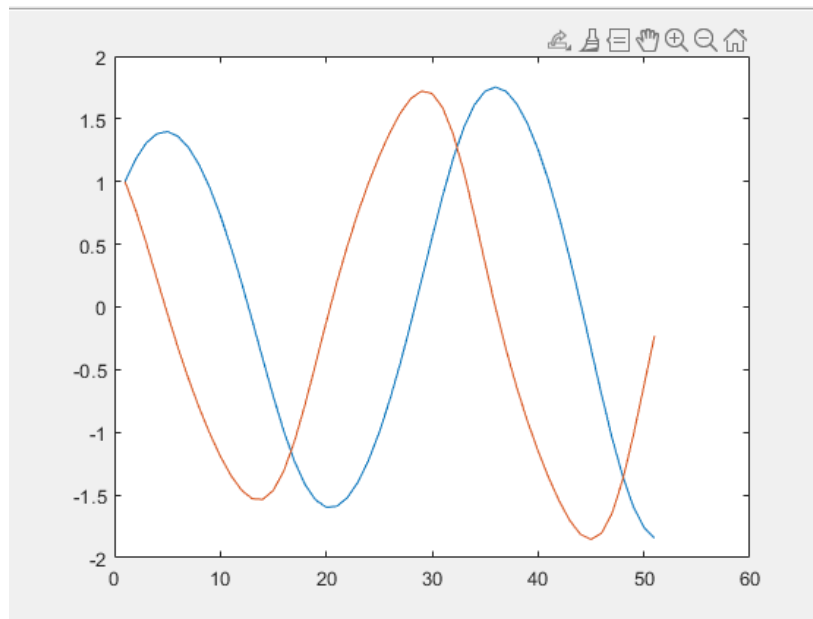


Figura 12. Gráfico de las señales a la salida del sistema con $\mu = 0.2$

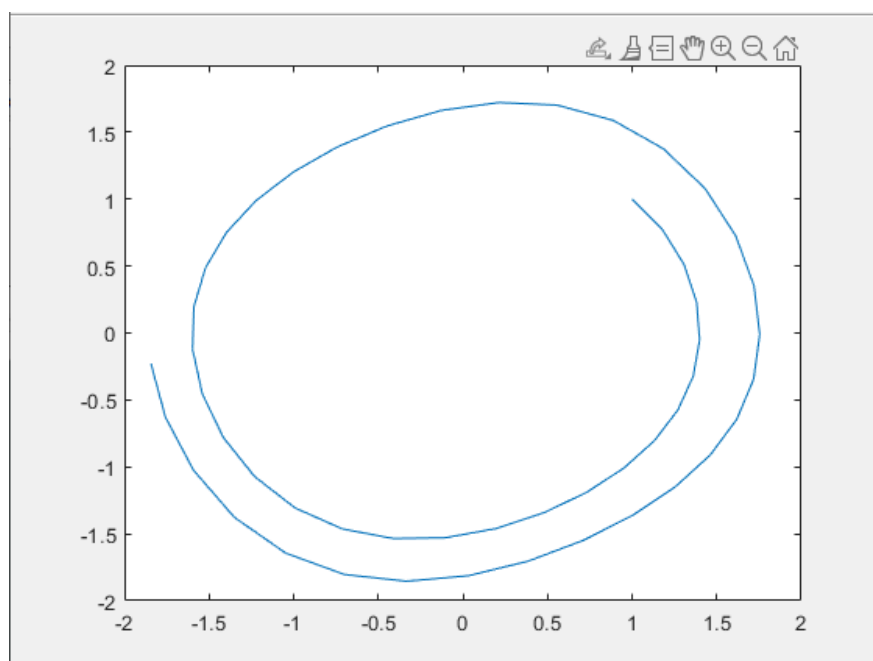


Figura 13. Gráfico de los datos data1 y data2 con $\mu = 0.2$

- Datos obtenidos de simulink con $\mu = 1$

tiempo	data1	data2
0	1	1
0,2	1,176411513	0,748565115
0,4	1,295431693	0,437413834
0,6	1,351657163	0,129392601
0,8	1,3498279	-0,140146018
1	1,298480357	-0,367036694
1,2	1,204956416	-0,564961663
1,4	1,073091583	-0,753990908
1,6	0,902500743	-0,955946645
1,8	0,688328453	-1,19367083
2	0,42117104	-1,488955972
2,2	0,088293401	-1,849310401
2,4	-0,319849174	-2,224421341
2,6	-0,790575533	-2,431015844
2,8	-1,261892344	-2,191248951
3	-1,634827836	-1,485425627
3,2	-1,850673816	-0,693626752
3,4	-1,927372737	-0,116864147
3,6	-1,912956212	0,22961684
3,8	-1,844939617	0,433960556
4	-1,743923376	0,56895778
4,2	-1,619091787	0,677332006
4,4	-1,473110371	0,783669831
4,6	-1,304626708	0,904934438
4,8	-1,109094712	1,056926348
5	-0,878582425	1,2581747
5,2	-0,601056587	1,530892088
5,4	-0,260217415	1,892558059
5,6	0,160478522	2,317402882
5,8	0,660579229	2,641792264
6	1,187240284	2,521606172
6,2	1,627367779	1,799033851
6,4	1,893983738	0,882241156
6,6	1,997207336	0,20325633
6,8	1,994648546	-0,189663078
7	1,932965493	-0,406951916
7,2	1,837370883	-0,540225274
7,4	1,71904093	-0,640230028
7,6	1,581695866	-0,733654579
7,8	1,424924594	-0,836816011
8	1,245419122	-0,963293088
8,2	1,037047362	-1,128320399
8,4	0,790234997	-1,351325904
8,6	0,491149645	-1,654559831
8,8	0,122316079	-2,047169426
9	-0,329983971	-2,467530432
9,2	-0,851123353	-2,677743933
9,4	-1,362818948	-2,32878542
9,6	-1,74693538	-1,465484877
9,8	-1,94981079	-0,601966589
10	-2,008252039	-0,033765385

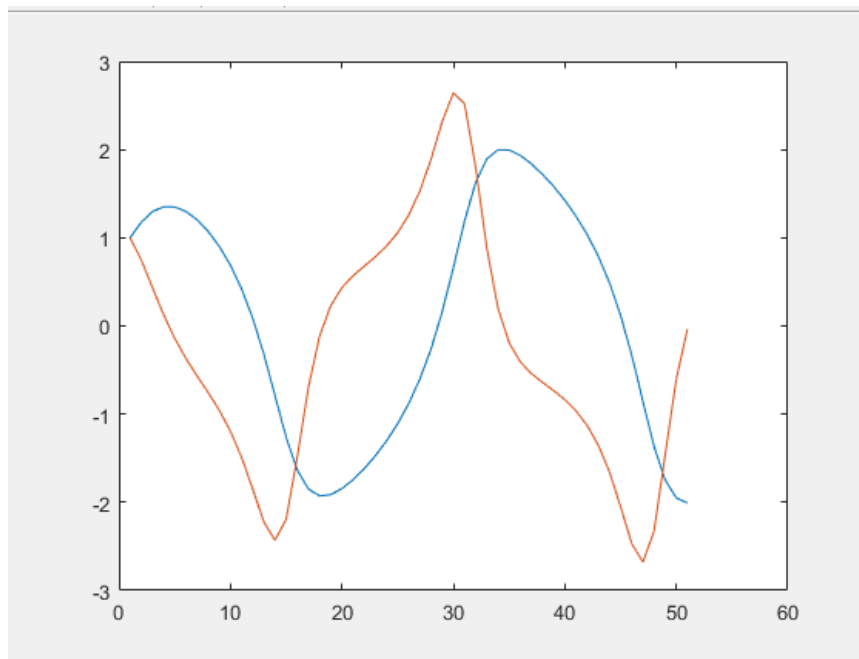


Figura 14. Gráfico de las señales a la salida del sistema con $\mu = 1$

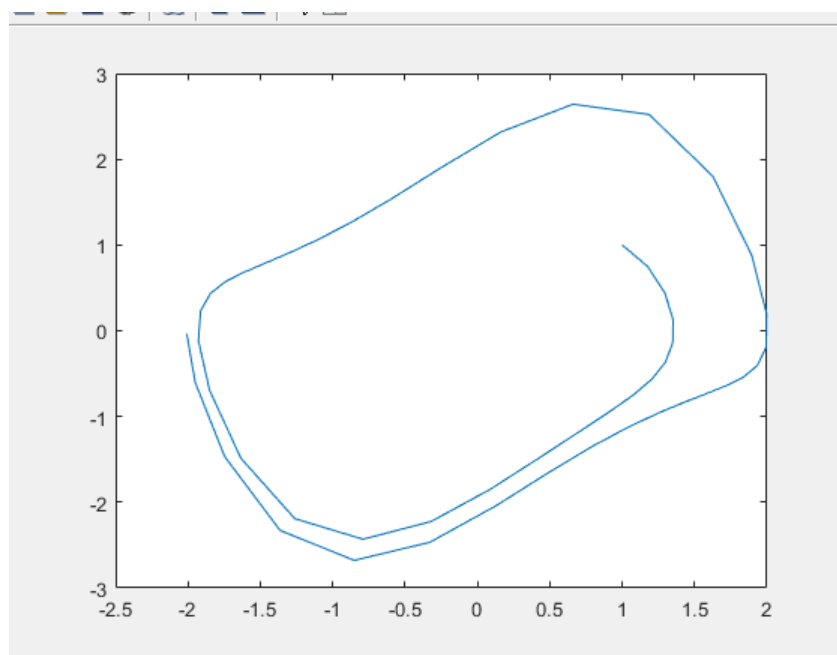


Figura 15. Gráfico de los datos data1 y data2 con $\mu = 1$

- Datos obtenidos de simulink con $\mu = 5$

tiempo	data1	data2
0	1	1
0,2	1,16780284	0,63328152
0,4	1,249494772	0,201578486
0,6	1,259201005	-0,078088884
0,8	1,226295528	-0,237622011
1	1,167257305	-0,349665983
1,2	1,086144449	-0,465887198
1,4	0,977323256	-0,637180952
1,6	0,82116148	-0,965933941
1,8	0,560210365	-1,781597152
2	-0,004853373	-4,378696796
2,11148132	-0,644853972	-7,100291866
2,22296264	-1,45776407	-6,351081008
2,31650194	-1,868723612	-2,504923171
2,392599267	-1,98439585	-0,786608386
2,47901938	-2,017267159	-0,115673618
2,55594495	-2,018284583	0,055439669
2,65336991	-2,009283594	0,114274393
2,774266436	-1,994224887	0,129913023
2,935827069	-1,972710374	0,134744948
3,135827069	-1,945345797	0,138283065
3,335827069	-1,917311241	0,141876847
3,535827069	-1,88855868	0,145641168
3,735827069	-1,859032042	0,149679883
3,935827069	-1,828664355	0,154074145
4,135827069	-1,797376339	0,158896255
4,335827069	-1,765074602	0,164224676
4,535827069	-1,731648709	0,170154481
4,735827069	-1,696966855	0,176805963
4,935827069	-1,660869842	0,184334776
5,135827069	-1,623162649	0,192946321
5,335827069	-1,583602473	0,202917501
5,535827069	-1,541881272	0,214630872
5,735827069	-1,497599548	0,228630193
5,935827069	-1,45022555	0,245714559
6,135827069	-1,399029143	0,267105656
6,335827069	-1,342969293	0,294762035
6,535827069	-1,280491194	0,332010531
6,735827069	-1,209133648	0,384922101
6,935827069	-1,124699512	0,465625977
7,135827069	-1,019296798	0,601367084
7,335827069	-0,875996358	0,863589078
7,535827069	-0,651259892	1,48200433
7,735827069	-0,203733232	3,364989163
7,87862901	0,491279252	6,618628596
7,972897828	1,184616973	7,434459035
8,067166647	1,744528725	4,011109186
8,152655696	1,956357127	1,28119996
8,238144744	2,013696206	0,261862905
8,313004111	2,021326793	-0,006800098

8,403222668	2,015521741	-0,099894713
8,513883581	2,002596154	-0,12605701
8,658670869	1,983652109	-0,133098308
8,857767209	1,95667921	-0,136743587
9,057767209	1,928929395	-0,140352352
9,257767209	1,900480099	-0,144054124
9,457767209	1,871280012	-0,147976398
9,657767209	1,841267456	-0,152217565
9,857767209	1,810368656	-0,156855238
10	1,78780755	-0,160431635

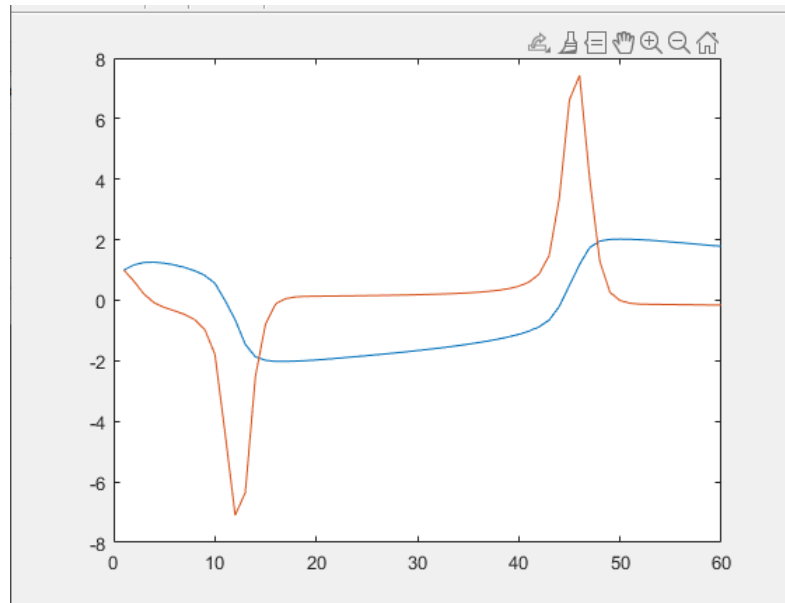


Figura 16. Gráfico de las señales a la salida del sistema con $\mu = 5$

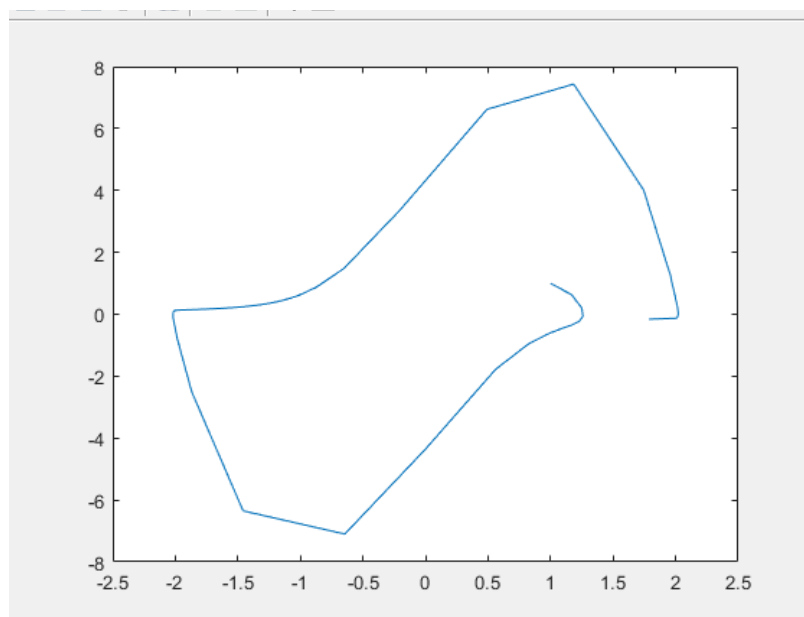


Figura 17. Gráfico de los datos data1 y data2 con $\mu = 5$

De las simulaciones, gráficas y datos anteriores se puede concluir que, para valores pequeños de μ , el movimiento es casi sinusoidal, mientras que para valores grandes de μ es una oscilación de relajación, lo que significa que tiende a parecerse a una serie de funciones escalonadas, saltando entre valores positivos y negativos dos veces por ciclo.

Péndulo Invertido

Se realizó en simulink la simulación de un péndulo invertido dada sus ecuaciones del sistema realimentado.

$$\dot{x} = Ax + Bu$$

$$y = Cx$$

$$u = -Kx + K_I \xi$$

$$\dot{\xi} = e = r - y$$

Donde r es la referencia del sistema realimentado y las matrices del sistema son:

$$A = \begin{bmatrix} 0 & 1 & 0 & 0 \\ 20.601 & 0 & 0 & 0 \\ 0 & 0 & 0 & 1 \\ -0.4905 & 0 & 0 & 0 \end{bmatrix}$$

$$B = \begin{bmatrix} 0 \\ -1 \\ 0 \\ 0.5 \end{bmatrix}$$

La matriz de variables de estado viene definida por las variables:

$$x = \begin{bmatrix} \theta \\ \dot{\theta} \\ d \\ \dot{d} \end{bmatrix}$$

Donde las variables θ y d son el ángulo del péndulo respecto a la vertical, y el desplazamiento del carrito, respectivamente. La matriz de control K viene dada por:

$$K = [157.6336 \quad 35.3733 \quad 56.0652 \quad 36.7466]$$

$$Y K_I = -50.9684$$

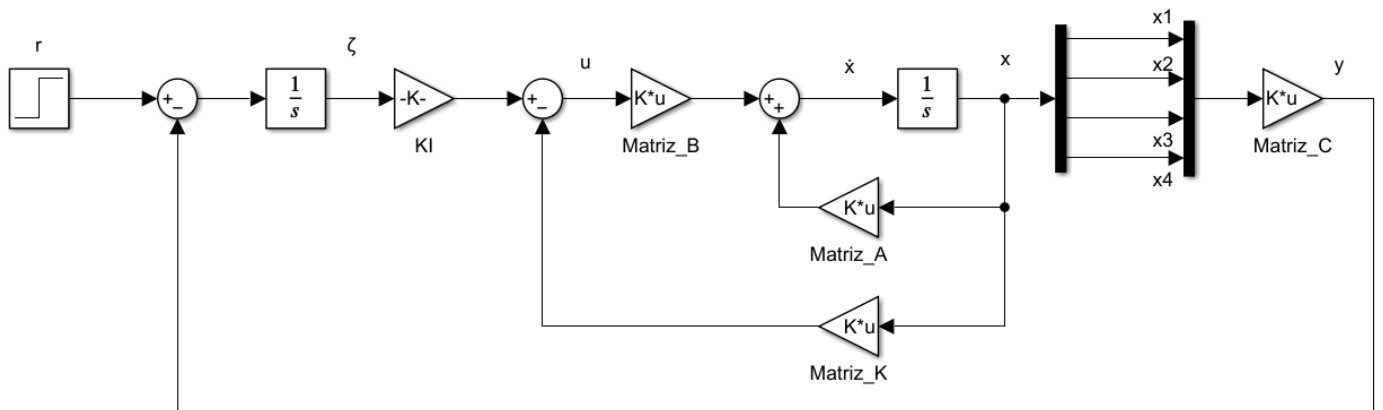


Figura 18. Sistema para el péndulo invertido

Las variables de estado del sistema son:

$$\begin{aligned} x_1 &= \theta \\ x_2 &= \dot{\theta} \\ x_3 &= x \\ x_4 &= \dot{x} \end{aligned}$$

Donde x_1 es el ángulo del péndulo, x_2 la velocidad angular, x_3 la posición del carro (que es la salida y) y x_4 la velocidad del carro.

r es la señal de entrada de referencia, la cual es una función escalón definida con valor inicial y valor final igual a 1, lo que indica un impulso constante desde el inicio. Esta señal es para “mover” el carro.

Se define como salida la posición del carro.

La Matriz C fue definida como: $C = [0 \ 0 \ 1 \ 0]$

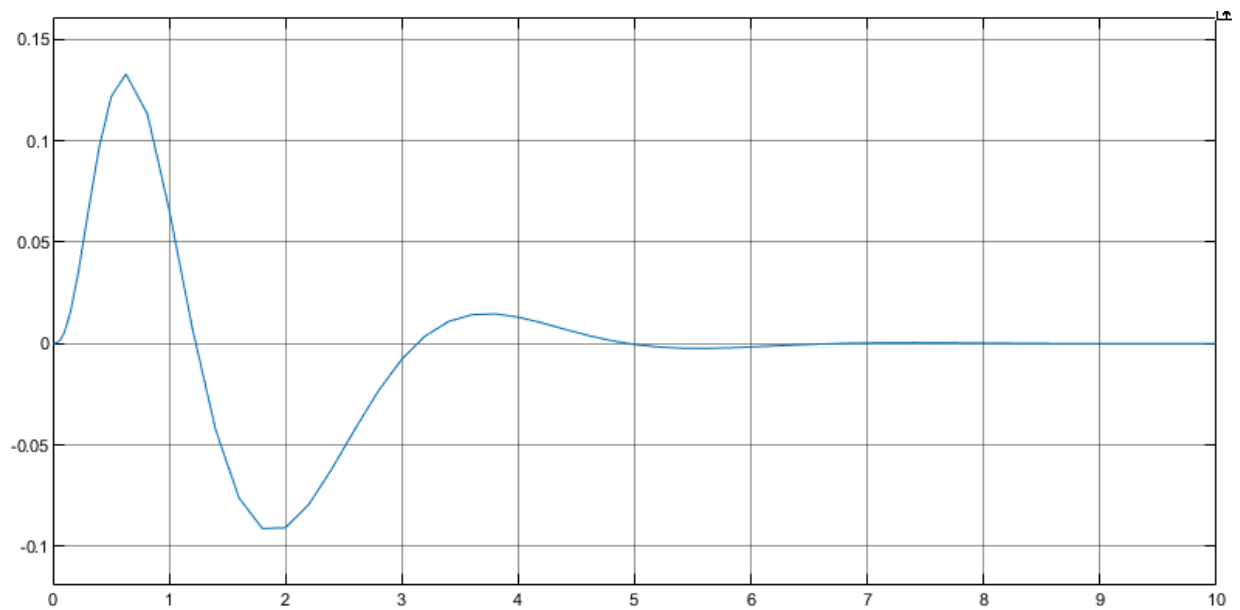


Figura 19. Gráfica del ángulo del péndulo (x_1)

Las oscilaciones iniciales son el resultado de que el controlador intenta corregir la posición inestable del péndulo. Al comenzar a estabilizarse en cero, aproximadamente a los 5 segundos, indica que el péndulo ha alcanzado la posición vertical deseada.

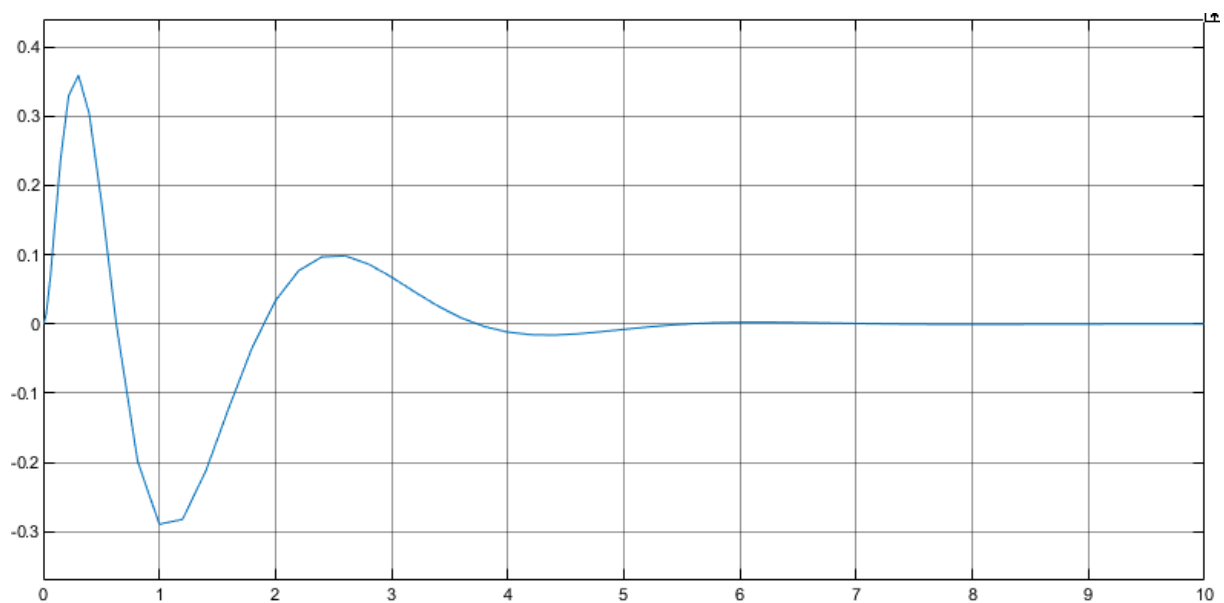


Figura 20. Gráfica de la velocidad angular del péndulo (x_2)

Esto muestra cómo el péndulo está tratando de equilibrarse y cómo el controlador realiza ajustes continuamente para reducir las oscilaciones hasta que la velocidad angular se reduce a cero, significando que el péndulo ya no está girando.

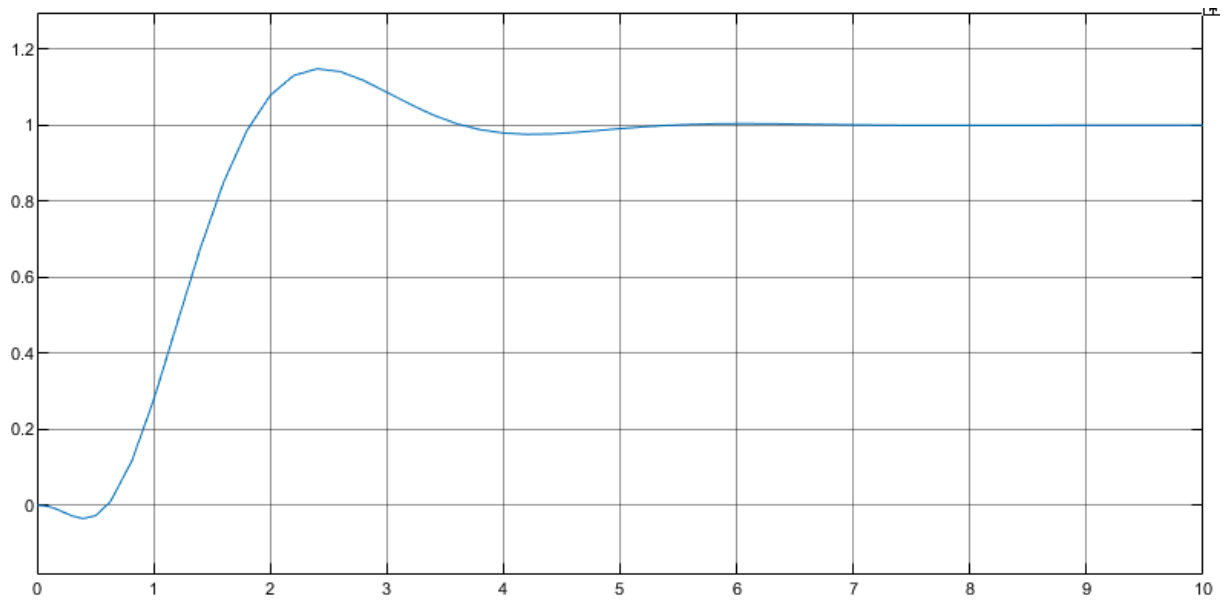


Figura 21. Gráfica de la posición del carro ($x_3 = \text{salida } y$)

Se observa que el carro se mueve para generar la fuerza necesaria para mantener el péndulo en posición vertical. Una vez que el péndulo está estabilizado, alrededor de los 5 segundos, el carro se queda en la nueva posición sin necesidad de moverse más.

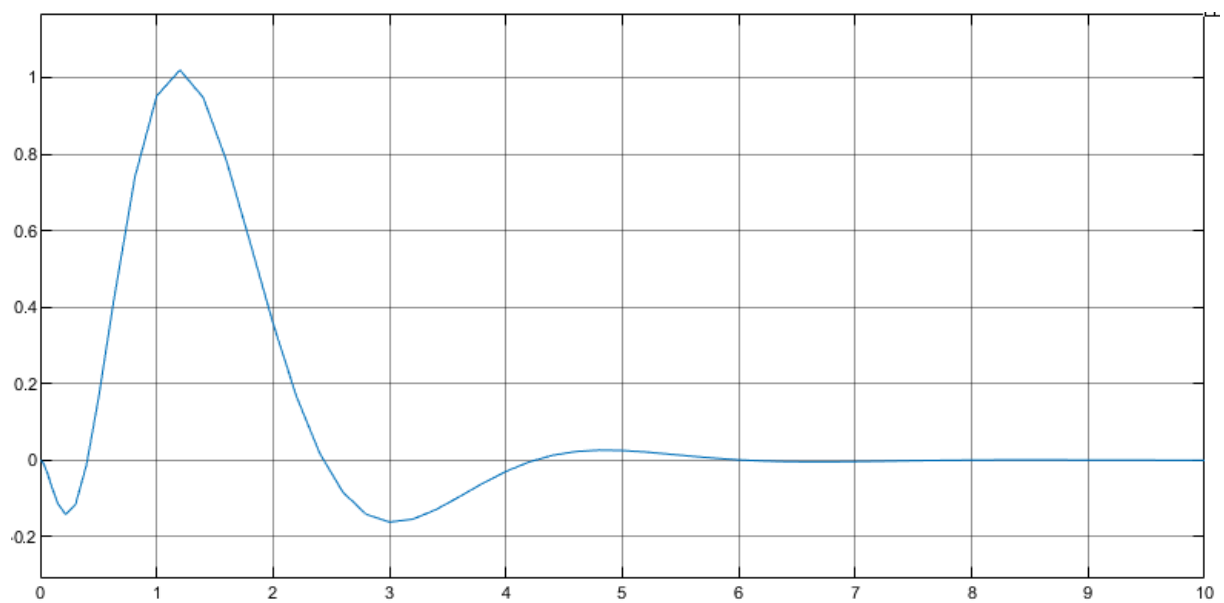


Figura 22. Gráfica de la velocidad del carro (x_4)

Las oscilaciones iniciales de la velocidad muestran las correcciones rápidas que el controlador realiza para equilibrar el péndulo. A medida que el péndulo se estabiliza,

la necesidad de corregir disminuye, y la velocidad del carro se reduce hasta que se estabiliza en cero, indicando que el carro ya no necesita moverse.

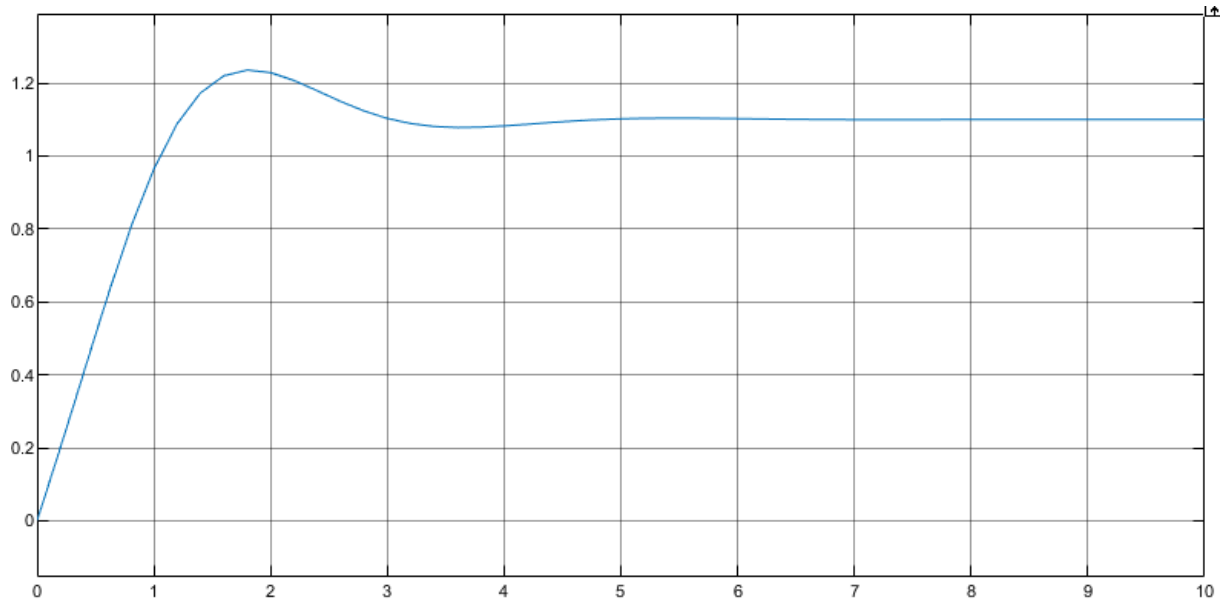


Figura 23. Gráfica de ζ

Funciones de transferencia

Para finalizar se montó en simulink un sistema de segundo orden con la función de transferencia:

$$\frac{Y(s)}{U(s)} = \frac{\omega^2}{s^2 + 2\xi\omega s + \omega^2}$$

Dicho sistema fue controlado con un PID haciendo que I=0, D=0 y variando el valor de P, disminuyendo primero su valor y luego aumentando su valor.

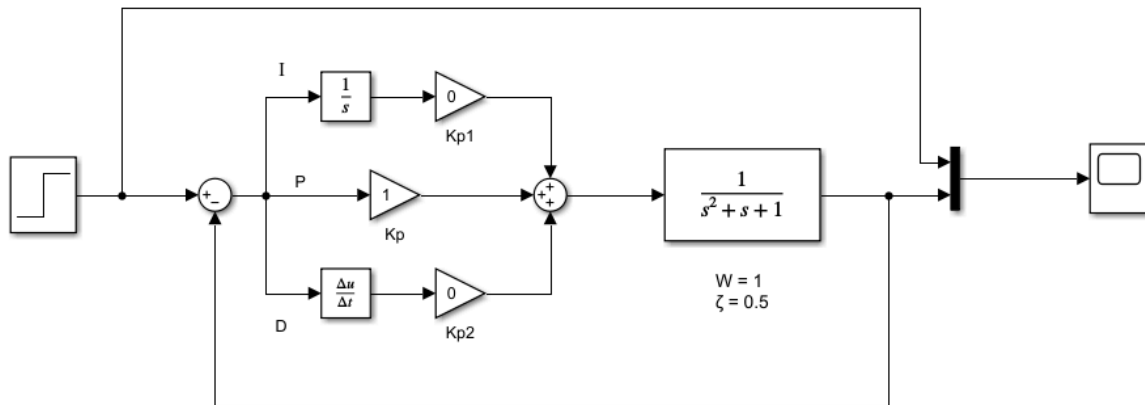


Figura 24. Sistema de segundo orden con PID, donde $I=0$, $D=0$ y P se varía

Para la frecuencia natural w se seleccionó: $w = 1$

Para el coeficiente de amortiguamiento $\zeta = 0.5$

Dado que $0 < \zeta < 1$ significa que la respuesta del sistema será: Subamortiguado

La señal roja que se observa en las siguientes gráficas es el escalón o “step” de la entrada y la azul es la señal que se obtiene a la salida del sistema, es decir, la respuesta del sistema al escalón.

- **P = 1**

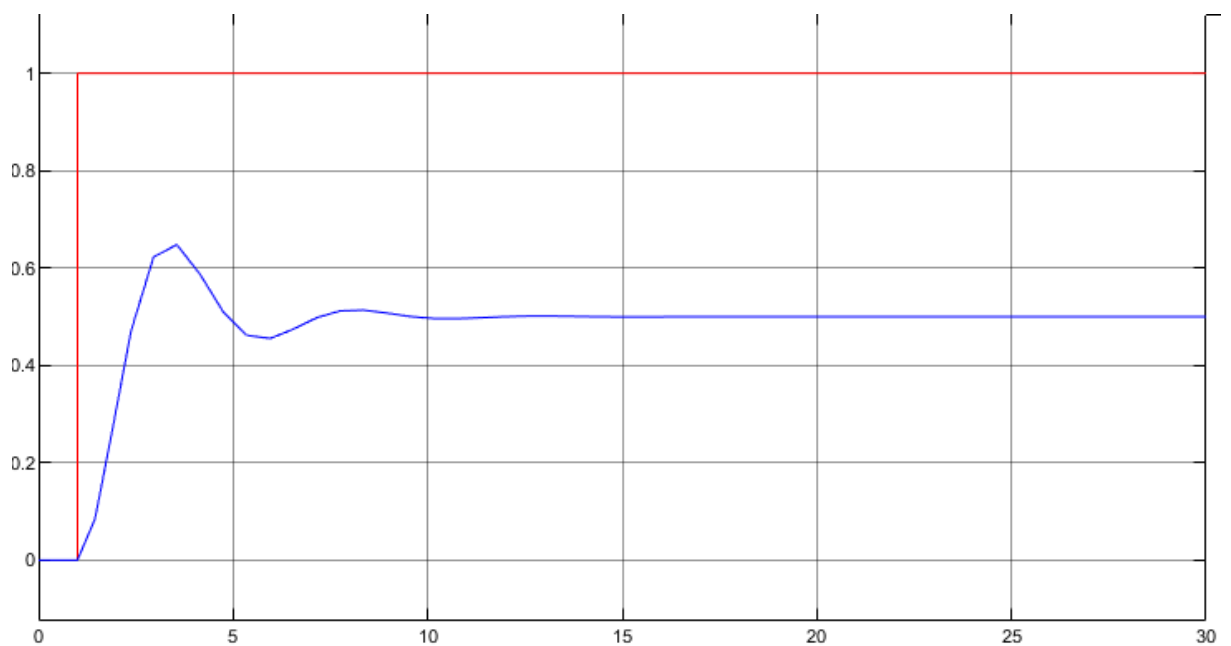


Figura 25. Sistema de segundo orden con $P = 1$

- **P = 3**

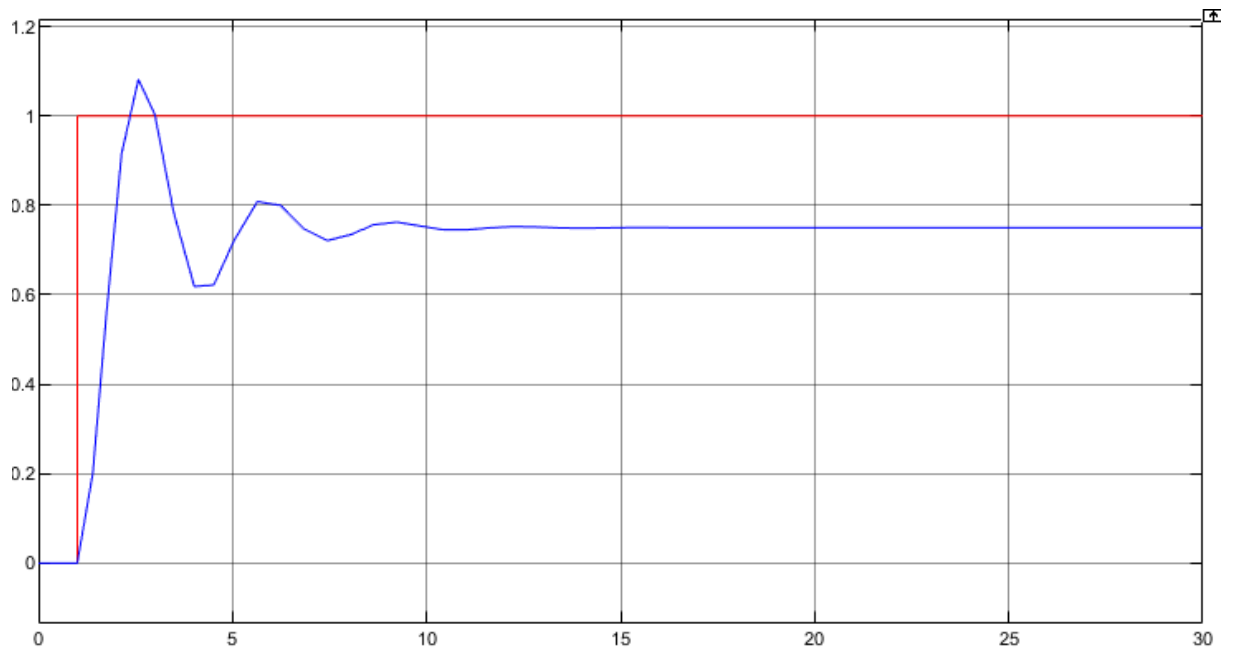


Figura 26. Sistema de segundo orden con $P = 3$

- **P = 5**

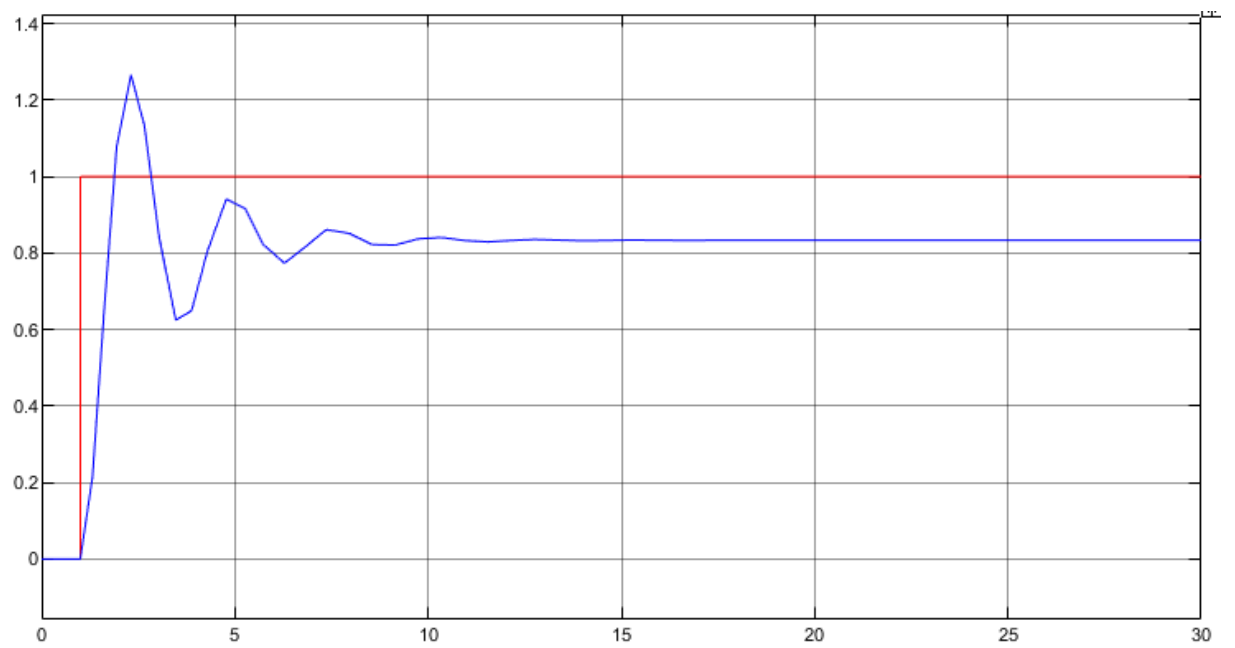


Figura 27. Sistema de segundo orden con $P = 5$

- **P = 10**

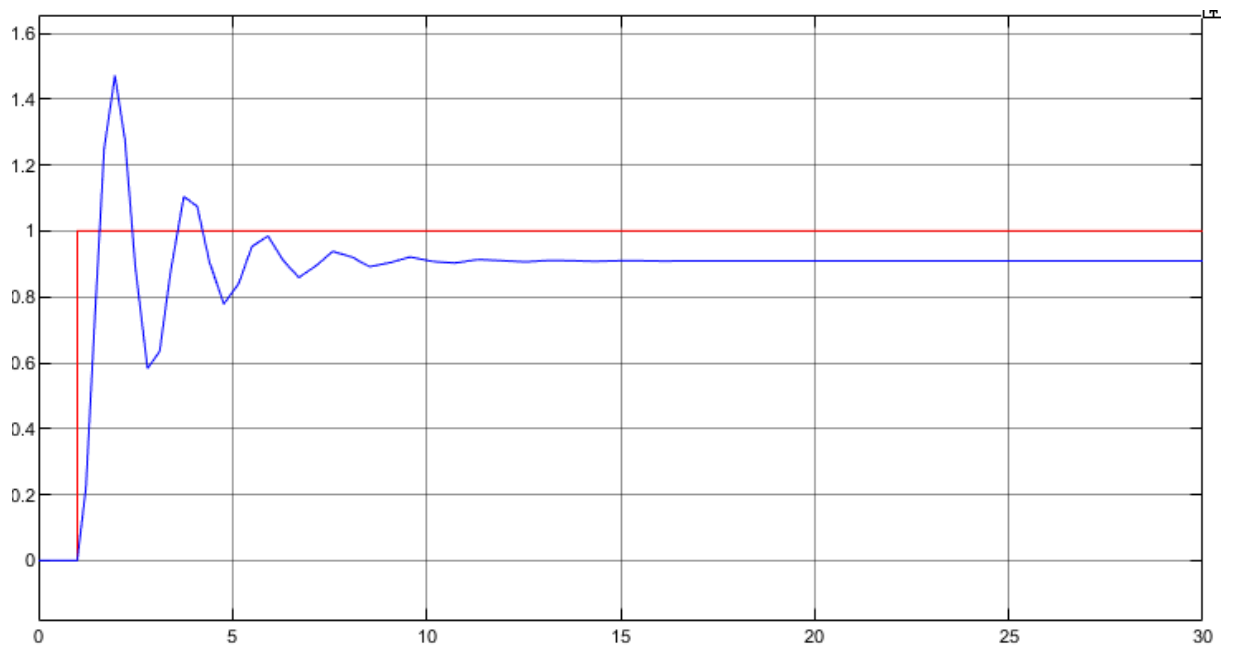


Figura 28. Sistema de segundo orden con $P = 10$

- **P = 20**

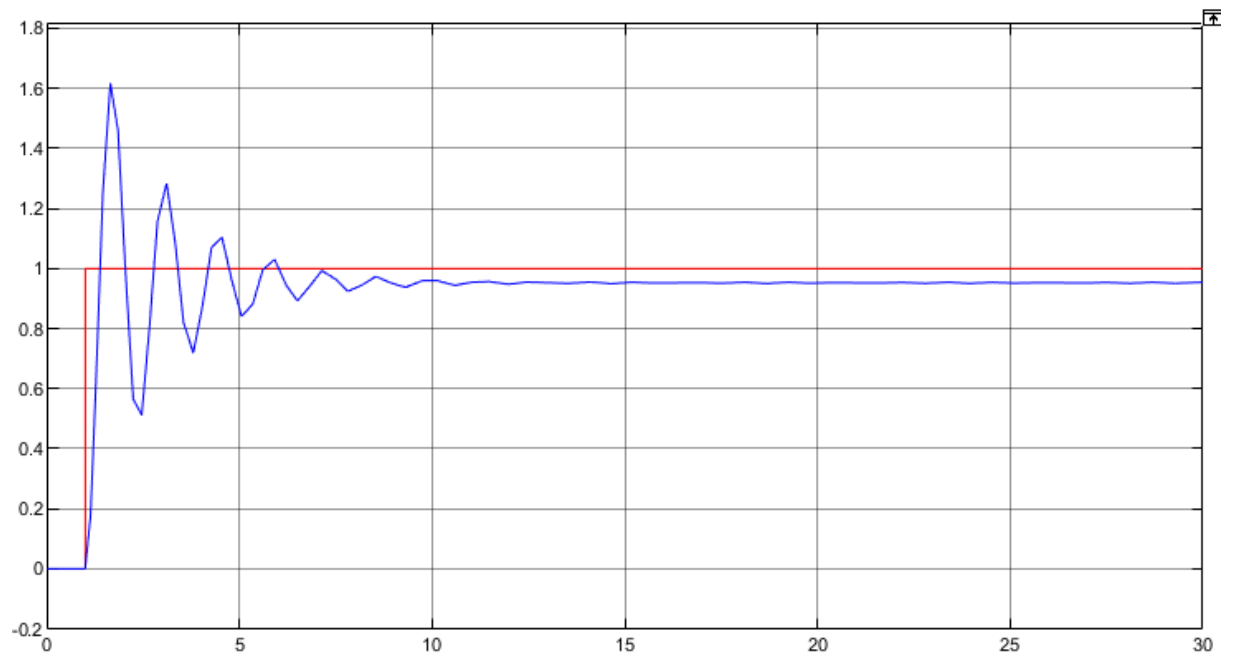


Figura 29. Sistema de segundo orden con $P = 20$

- **P = 50**

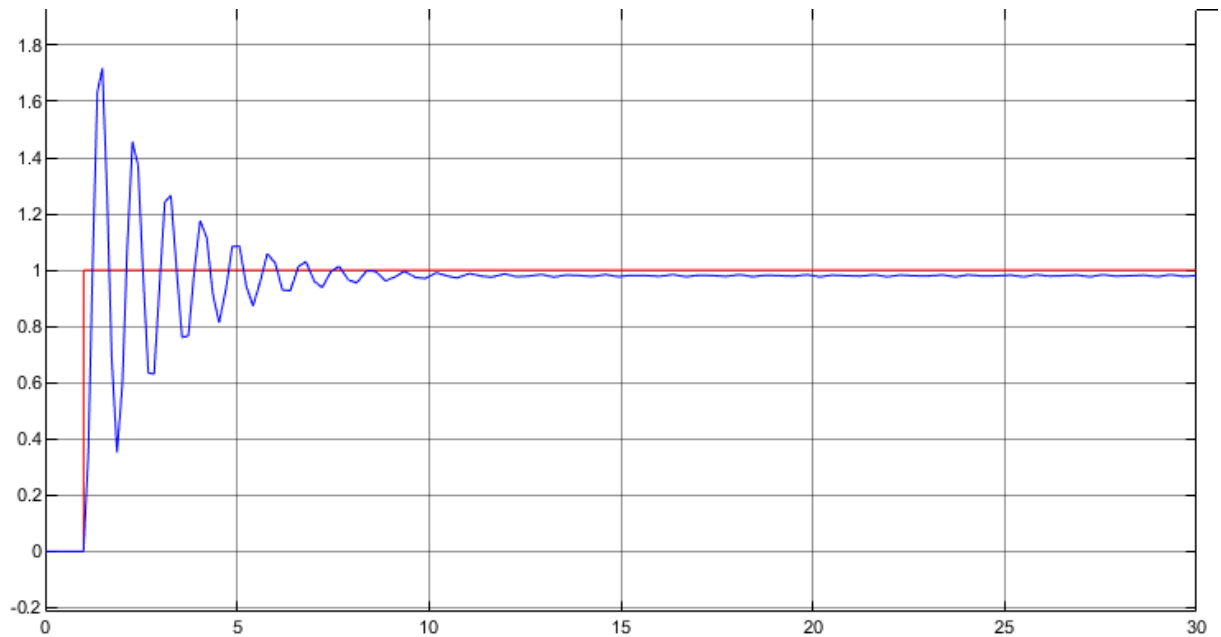


Figura 30. Sistema de segundo orden con $P = 50$

De las gráficas anteriores se observa que al variar el valor de P , con $I = 0$ y $D = 0$, las oscilaciones cambian tanto en magnitud como en cantidad, por lo tanto, el componente proporcional P del controlador PID afecta directamente las oscilaciones.

Cuando se aumenta el valor de P :

- Las oscilaciones tienden a tener mayor amplitud.
- La cantidad de oscilaciones puede aumentar antes de que el sistema se estabilice.

Cuando se disminuye el valor de P :

- Las oscilaciones tienden a tener menor amplitud.
- El sistema puede tardar más en reaccionar y ser menos oscilatorio.

El componente proporcional proporciona una fuerza de corrección proporcional al error, y aumentar su valor puede llevar a una respuesta más agresiva, mientras que reducirlo puede hacer que el sistema sea más lento en corregir errores. Pero si es demasiado alto, el sistema puede volverse inestable y oscilar más.

En este sistema subamortiguado con control PID, un valor alto de P (proporcional) típicamente induce mayores oscilaciones debido a la respuesta más agresiva del controlador. Esto ocurre porque el controlador intenta corregir el error más rápidamente, lo cual puede resultar en sobrecompensación y, por lo tanto, en oscilaciones más pronunciadas y frecuentes.

Sin embargo, en las gráficas se observa que el sistema comienza a estabilizarse alrededor de los 10 s, independientemente de si P es alto o bajo. Este tiempo se mantiene relativamente constante, lo cual sugiere que el sistema eventualmente encuentra un equilibrio, aunque con diferentes características de oscilación.